



دانشگاه تهران
پردیس دانشکده‌های فنی
دانشکده مهندسی مکانیک
درس کنترل مدرن



گزارش پروژه امتحان خانه‌بر پایانترم کنترل مدرن

عنوان پروژه: سیستم هلیکوپتر سه درجه آزادی

نام نویسنده:
مهدی عبدالله چالکی

تاریخ تحویل:

۱۴۰۰/۱۱/۵



دانشگاه تهران
پردیس دانشکده‌های فنی
دانشکده مهندسی مکانیک
درس کنترل مدرن



چکیده

در گزارش پیش رو، یک سیستم هلیکوپتر سه درجه آزادی ساخت شرکت Quanser، مورد مطالعه قرار گرفته‌است و مراحل مختلفی از جمله مدل‌سازی غیرخطی، خطی‌سازی مدل غیر خطی، بررسی پایداری سیستم خطی و نیز طراحی کنترل‌کننده و رویت‌گر برای آن سیستم، انجام شده‌است. در مراحل مختلف این پروژه، از مفاهیم کنترل خطی و مدرن استفاده شده‌است و شبیه‌سازی‌ها توسط نرم‌افزار متلب و سیمولینک صورت گرفته‌اند. خواسته‌های هر سوال نیز ابتدا از منظر تئوری پاسخ داده شده‌است و سپس روش پیاده‌سازی آن به صورت نرم‌افزاری و پاسخ‌های سیستم تشریح شده‌اند. در بخش پیوست، کدها و مدل‌های مورد استفاده ضمیمه شده‌اند.

فهرست

۱. مقدمه و فرضیات	۱
۲. مدل سازی	۲
۲-۱- معرفی سیستم هلیکوپتر	۲
۲-۲- تحلیل دینامیکی هلیکوپتر	۳
۲-۳- انرژی پتانسیل مجموعه	۵
۲-۴- انرژی جنبشی مجموعه	۵
۲-۵- معادله اوپلر لاگرانژ	۶
۲-۶- فضای حالت	۱۰
۳. کنترل	۱۱
۳-۱- بررسی پایداری سیستم خطی مدار باز	۱۱
۳-۱-۱- بررسی پایداری سیستم از نظر BIBO	۱۲
۳-۱-۲- بررسی پایداری سیستم از نظر لیاپانوف	۱۲
۳-۱-۳- بررسی پایداری مارچینال	۱۳
۳-۲- طراحی سیستم حلقه بسته	۱۳
۳-۲-۱- بررسی کنترل پذیری و رویت پذیری سیستم	۱۳
۳-۲-۲- طراحی فیدبک بهره حالت	۱۵
۳-۳- کنترل ردیاب حالت به روش انتگرال گیر	۱۹
۳-۴- بررسی مقاومت سیستم در برابر اغتشاش و تغییر پارامترها	۲۲
۳-۴-۱- بررسی مقاومت در برابر تغییر پارامترهای سیستم	۲۲
۳-۴-۲- بررسی مقاومت در برابر اغتشاش خارجی	۲۳
۳-۵- طراحی رویت گر مرتبه کامل	۲۵
۳-۶- طراحی رویت گر کاهش مرتبه یافته	۲۹
۳-۷- رهگیری سیگنال های سینوسی و خطی	۳۳
۴. جمع بندی و نتیجه گیری	۳۶
۵. مراجع	۳۷
۶. ضمائم	۳۸

فهرست تصاویر

- شکل ۱- هلیکوپتر سه درجه آزادی به هنگام عملکرد ۱
- شکل ۲: نمودار جسم آزاد هلیکوپتر سه درجه آزادی ۲
- شکل ۳: بلوک دیاگرام سیستم با فیدبک حالت ۱۶
- شکل ۴: حالات سیستم و ولتاژها - سیستم با فیدبک حالت و قطب‌های سریع ۱۷
- شکل ۵: حالات سیستم و ولتاژها - سیستم با فیدبک حالت و قطب‌های کند ۱۹
- شکل ۶: بلوک دیاگرام سیستم با کنترلر ردیاب حالت به روش انتگرال گیر ۲۰
- شکل ۷: زوایای ϵ و λ و ولتاژها - سیستم با کنترل ردیاب حالت به روش انتگرال گیر ۲۱
- شکل ۸: زوایای ϵ و λ و ولتاژها - عکس‌العمل سیستم به تغییر پارامترها ۲۳
- شکل ۹: بلوک دیاگرام سیستم در حضور اغتشاش ۲۴
- شکل ۱۰: پاسخ سیستم در حضور اغتشاش ۲۵
- شکل ۱۱: بلوک دیاگرام سیستم مدار بسته در حضور رویت‌گر مرتبه کامل و کنترلر ۲۷
- شکل ۱۲: ورودی‌ها، خروجی‌ها و مقادیر تخمین زده‌شده زوایای λ و ϵ ۲۸
- شکل ۱۳: خروجی‌ها و مقادیر تخمین زده‌شده برای حالت‌ها ۲، ۴، ۵ و ۶ سیستم ۲۸
- شکل ۱۴: بلوک دیاگرام حل معادله برای بدست آوردن متغیر T ۲۹
- شکل ۱۵: بلوک دیاگرام سیستم مدار بسته با رویت‌گر کاهش مرتبه‌یافته ۳۰
- شکل ۱۶: ورودی‌های سیستم به همراه مقادیر واقعی و تخمین‌زده‌شده مشتقات سه زاویه اصلی ۳۱
- شکل ۱۷: خروجی‌های سیستم در حالت رویت‌گر کاهش مرتبه یافته ۳۲
- شکل ۱۸: زوایای مرجع و مقادیر تخمینی آن‌ها با استفاده از انتگرال گیر ۳۳
- شکل ۱۹: پاسخ سیستم به ورودی سینوسی ۳۴
- شکل ۲۰: کنترلر مناسب ورودی سینوسی ۳۵

فهرست جداول

- جدول ۱: پارامترهای اصلی سیستم هلیکوپتر سه درجه آزادی ۳



۱. مقدمه و فرضیات

در این پروژه، مدل سازی و کنترل خطی یک سیستم هلیکوپتر سه درجه آزادی انجام گرفته است. نمای این هلیکوپتر در شکل ۱ آمده است.



شکل ۱- هلیکوپتر سه درجه آزادی به هنگام عملکرد

در بخش ابتدایی، مدل سازی سیستم با استفاده از روش اوایلر-لاگرانژ انجام گرفته و معادلات غیرخطی سیستم استخراج شده اند. سپس این معادلات حول نقطه تعادل صفر خطی سازی شده و معادلات فضای حالت آن بدست آمده اند. در بخش بعدی، سیستم مدار باز از نظر انواع پایداری مورد ارزیابی قرار گرفته و کنترلر فیدبک حالت برای آن طراحی شده است.

در بخش های بعدی پروژه، بیشتر به بحث کنترل و ریت پذیری پارامترهای سیستم پرداخته شده و مواردی مانند طراحی کنترلر ردیاب حالت، بررسی واکنش کنترلر به تغییر پارامترهای سیستم و اغتشاش خارجی، طراحی ریت گر مرتبه کامل و نیز ریت گر مرتبه کاهش یافته انجام گرفته است. نتایج هر بخش به تفصیل در بخش های آتی شرح داده خواهد شد.

فرضیات حل پروژه در بخش ۲-۲ شرح داده شده است.

نکات کلیدی: هلیکوپتر، کنترل، مدل سازی، کنترلر، ریت گر

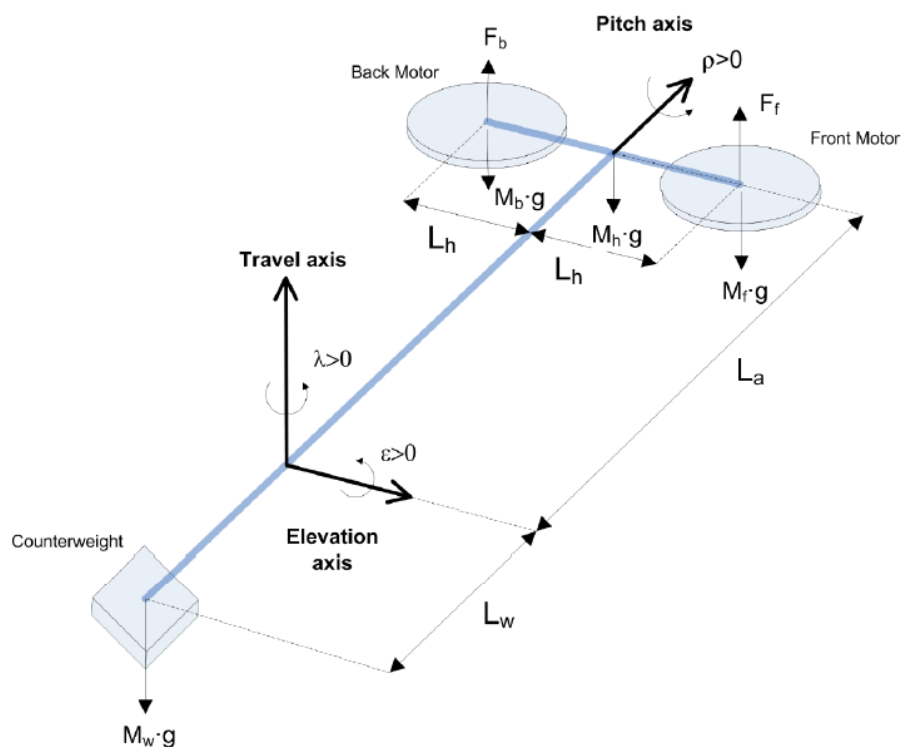


۲. مدل سازی

در این بخش، به مدل سازی ربات و استخراج معادلات غیرخطی آن می پردازیم. ابتدا سیستم را معرفی و پارامترهای آن را معرفی می کنیم.

۲-۱- معرفی سیستم هلیکوپتر

هلیکوپتر نشان داده شده در شکل ۱، متشکل از دو موتور DC به همراه پره، یک وزنه، دو بازوی متحرک، یک لولای یک درجه آزادی و یک لولای دو درجه آزادی است که این مجموعه بر روی پایه ای ثابت قرار گرفته است. محور دو موتور موازی یکدیگر است و با چرخش پره های آنها، نیروی لازم برای چرخش محورها حول لولاها ایجاد می شود. این نیروها به قدری کافی هستند که بتوانند جرمی را که از سر دیگر میله ی متصل به لولا آویزان شده است، جابجا کرده و در حالت تعادل نگه دارند. نمای جسم آزاد این هلیکوپتر در شکل ۲ نمایش داده شده است. همچنین زوایای مرجع و محورها نیز در این شکل مشخص شده اند.



شکل ۲: نمودار جسم آزاد هلیکوپتر سه درجه آزادی



در شکل ۲، دیگر پارامترهای سیستم از جمله طول بازوها، جرم هر یک از مجموعه پره و موتورها و نیز جرم وزنه معرفی شده‌اند. با بررسی کاتالوگ این هلیکوپتر، مقادیر مورد نیاز برای حل مساله استخراج شده‌اند. این مقادیر در جدول ۱ آورده شده‌اند.

جدول ۱: پارامترهای اصلی سیستم هلیکوپتر سه درجه آزادی

پارامتر	توضیحات	مقدار	واحد
K_f	ثابت نیروی رانش پروانه	0.1188	N/V
M_h	جرم هلیکوپتر	1.15	kg
M_w	جرم وزنه	1.87	kg
M_f	جرم مجموعه پروانه جلویی	0.713	kg
M_b	جرم مجموعه پروانه پشتی	0.713	kg
L_a	فاصله محور حرکت تا بدنه هلیکوپتر	0.660	m
L_h	فاصله محور فراز تا هر یک از موتورها	0.178	m
L_w	فاصله محور حرکت تا وزنه	0.470	m

حال پس از معرفی سیستم و پارامترها، به سراغ تحلیل و بدست آوردن معادلات حرکت آن می‌رویم.

۲-۲- تحلیل دینامیکی هلیکوپتر

برای بدست آوردن معادلات حرکت سیستم، از روش اویلر – لاگرانژ بهره می‌بریم. برای پیاده سازی این روش، ابتدا باید انرژی‌های پتانسیل و جنبشی محاسبه شوند. برای محاسبه انرژی‌ها نیز باید موقعیت و سرعت هر یک از اجرام معلوم باشد. بنابراین، ابتدا به سراغ تعیین مختصات هر یک از اجرام می‌رویم.

فرضیات: جرم و ممان بازوهای متصل کننده قطعات به یکدیگر در کاتالوگ نیامده‌است و مقادیر آن‌ها ناچیز فرض شده‌است. بنابراین، بدست آوردن انرژی دورانی آن‌ها نیازی نیست و تنها انرژی ناشی از جرم‌هایی که در بخش قبل معرفی شد، می‌پردازیم. لازم به ذکر است که محاسبه مختصات اجرام در مکانیزم چند درجه آزادی، وقت گیر و نیاز به تسلط بر مباحث دینامیک پیشرفته (و یا رباتیک مقدماتی) است تا با تعریف ماتریس‌های انتقال و ضرب آن‌ها در یکدیگر، بتوان به مختصات اجرام مورد نظر رسید. معادلات این بخش، از فایل راهنمای موجود در وبسایت شرکت Quanser نقل شده‌اند.



مختصات اصلی سیستم زوایای ϵ ، ρ و λ به ترتیب حول محورهای ارتفاع، فراز و حرکت نشان داده شده در شکل ۲ هستند.

مختصات وزنه‌ی معلق از انتهای بازوی اصلی در دستگاه مختصات مرکزی، بدین شرح است:

$$x_{cw}(t) = -\sin(\lambda(t)) * \cos(\epsilon(t)) * Lw \quad (۱)$$

$$y_{cw}(t) = -\cos(\lambda(t)) * \cos(\epsilon(t)) * Lw \quad (۲)$$

$$z_{cw}(t) = -\sin(\epsilon(t)) * Lw \quad (۳)$$

مختصات موتور جلویی در دستگاه مختصات مرکزی، بدین شرح است:

$$x_{fm} = \cos(\lambda(t)) * \cos(p(t)) * L_h - \sin(\lambda(t)) * \sin(\epsilon(t)) * \sin(p(t)) * L_h + \sin(\lambda(t)) * \cos(\epsilon(t)) * L_a \quad (۴)$$

$$y_{fm} = -\sin(\lambda(t)) * \cos(p(t)) * L_h - \cos(\lambda(t)) * \sin(\epsilon(t)) * \sin(p(t)) * L_h + \cos(\lambda(t)) * \cos(\epsilon(t)) * L_a \quad (۵)$$

$$z_{fm} = \cos(\epsilon(t)) * \sin(p(t)) * L_h + \sin(\epsilon(t)) * L_a \quad (۶)$$

مختصات موتور پشتی در دستگاه مختصات مرکزی، بدین شرح است:

$$x_{bm} = -\cos(\lambda(t)) * \cos(p(t)) * L_h + \sin(\lambda(t)) * \sin(\epsilon(t)) * \sin(p(t)) * L_h + \sin(\lambda(t)) * \cos(\epsilon(t)) * L_a \quad (۷)$$

$$y_{bm} = \sin(\lambda(t)) * \cos(p(t)) * L_h + \cos(\lambda(t)) * \sin(\epsilon(t)) * \sin(p(t)) * L_h + \cos(\lambda(t)) * \cos(\epsilon(t)) * L_a \quad (۸)$$



$$z_{bm} = -\cos(\epsilon(t)) * \sin(p(t)) * L_h + \sin(\epsilon(t)) * L_a \quad (9)$$

بدین ترتیب و با مشخص شدن، مختصات هر یک از اجرام، می‌توان انرژی‌های جنبشی و پتانسیل آن‌ها و در نتیجه انرژی جنبشی و پتانسیل کل مجموعه را بدست آورد.

۲-۳- انرژی پتانسیل مجموعه

برای انرژی پتانسیل وزنه‌ی معلق از انتهای بازوی اصلی داریم:

$$V_{cw} = -M_w * g * \sin(\epsilon(t)) * L_w \quad (10)$$

برای انرژی پتانسیل موتور جلویی داریم:

$$V_{fm} = M_f * g * (\cos(\epsilon(t)) * \sin(p(t)) * L_h + \sin(\epsilon(t)) * L_a) \quad (11)$$

برای انرژی پتانسیل موتور پشتی داریم:

$$V_{bm} = M_f * g * (-\cos(\epsilon(t)) * \sin(p(t)) * L_h + \sin(\epsilon(t)) * L_a) \quad (13)$$

و انرژی پتانسیل کل، برابر مجموع انرژی‌های پتانسیل این سه جرم است.

$$V = V_{cw} + V_{bm} + V_{fm} \quad (14)$$

۲-۴- انرژی جنبشی مجموعه

برای انرژی پتانسیل وزنه‌ی معلق از انتهای بازوی اصلی داریم:

$$T_{cw} = 0.5 * M_w * (\dot{x}_{cw}^2 + \dot{y}_{cw}^2 + \dot{z}_{cw}^2) \quad (15)$$

برای انرژی جنبشی موتور جلویی داریم:

$$T_{fm} = 0.5 * M_{fm} * (\dot{x}_{fm}^2 + \dot{y}_{fm}^2 + \dot{z}_{fm}^2) \quad (16)$$

برای انرژی جنبشی موتور پشتی داریم:



$$T_{bm} = 0.5 * M_{bm} * (\dot{x}_{bm}^2 + \dot{y}_{bm}^2 + \dot{z}_{bm}^2) \quad (۱۷)$$

و انرژی جنبشی کل، برابر مجموع انرژی‌های جنبشی این سه جرم است.

$$T = T_{cw} + T_{bm} + T_{fm} \quad (۱۸)$$

۲-۵- معادله اوایلر لاگرانژ

معادله اوایلر لاگرانژ، شکلی به فرم زیر دارد:

$$\frac{\partial}{\partial t} \left(\frac{\partial}{\partial \dot{q}_i} L \right) - \left(\frac{\partial}{\partial q_i} L \right) = Q_i \quad (۱۹)$$

برای استفاده از معادله اوایلر لاگرانژ، در قدم اول مختصات عمومی (q_i)ها را تعریف می‌کنیم. این مختصه‌ها عبارت‌اند از زوایای ϵ ، ρ و λ . سپس باید نیروهای عمومی (Q_i)ها را تعریف کنیم. این نیروهای عمومی، گشتاورهایی هستند که پره‌های هلیکوپتر حول محور مربوط به زاویه (q_i)، ایجاد می‌شوند.

برای گشتاور نیروهای عمومی حول محور ارتفاع داریم:

$$Q_1 = L_a K_f (V_f + V_b) \quad (۲۰)$$

برای گشتاور نیروهای عمومی حول محور فراز داریم:

$$Q_2 = K_f (V_f - V_b) L_h \quad (۲۱)$$

برای گشتاور نیروهای عمومی حول محور حرکت داریم:

$$Q_3 = L_a K_f (V_f + V_b) \sin(p(t)) \quad (۲۲)$$



ولتاژ نقطه کاری سیستم در حالت تعادل صفر، برابر است با:

$$V_{op} := -\frac{1}{2} \frac{g(L_a m_b + L_a m_f - L_w m_w)}{L_a K_f} \quad (23)$$

در نتیجه با نوشتن ولتاژها حول تعادل، برای Q_1 و Q_2 داریم:

$$Q_1 = L_a K_f \left(V_f + \frac{g(L_a m_b + L_a m_f - L_w m_w)}{L_a K_f} + V_b \right) \quad (24)$$

$$Q_3 = L_a K_f \left(V_f + \frac{g(L_a m_b + L_a m_f - L_w m_w)}{L_a K_f} + V_b \right) \sin(p(t)) \quad (25)$$

با قرار دادن هر زوج q و Q در معادله اوپلر - لاگرانژ، یک معادله بدست می‌آید. در نتیجه، دستگاه معادلات به صورت زیر ظاهر خواهد شد:



معادله اول:

$$\begin{aligned}
 & g * \cos(\epsilon(t)) * (2 * La * Mf - Lw * Mw) - Kf * La \\
 & * \left(Vb + Vf + \frac{g * (2 * La * Mf - Lw * Mw)}{Kf * La} \right) + 2 * La^2 \\
 & * Mf * \text{diff}(\epsilon(t), t, t) + 2 * Lh^2 * Mf \\
 & * \text{diff}(\epsilon(t), t, t) + Lw^2 * Mw * \text{diff}(\epsilon(t), t, t) \\
 & - 2 * Lh^2 * Mf * \cos(p(t))^2 * \text{diff}(\epsilon(t), t, t) - 2 \\
 & * Lh^2 * Mf * \cos(\epsilon(t)) * \text{diff}(\lambda(t), t) \\
 & * \text{diff}(p(t), t) + 2 * La^2 * Mf * \cos(\epsilon(t)) \\
 & * \sin(\epsilon(t)) * \text{diff}(\lambda(t), t)^2 - 2 * Lh^2 * Mf \\
 & * \cos(\epsilon(t)) * \sin(\epsilon(t)) * \text{diff}(\lambda(t), t)^2 \\
 & + Lw^2 * Mw * \cos(\epsilon(t)) * \sin(\epsilon(t)) \\
 & * \text{diff}(\lambda(t), t)^2 + 2 * Lh^2 * Mf * \cos(\epsilon(t)) \\
 & * \cos(p(t)) * \sin(p(t)) * \text{diff}(\lambda(t), t) + 4 * Lh^2 \\
 & * Mf * \cos(p(t)) * \sin(p(t)) * \text{diff}(\epsilon(t), t) \\
 & * \text{diff}(p(t), t) + 2 * Lh^2 * Mf * \cos(\epsilon(t)) \\
 & * \cos(p(t))^2 * \sin(\epsilon(t)) * \text{diff}(\lambda(t), t)^2 + 2 \\
 & * Lh^2 * Mf * \cos(\epsilon(t)) * \cos(p(t))^2 \\
 & * \text{diff}(\lambda(t), t) * \text{diff}(p(t), t) - 2 * Lh^2 * Mf \\
 & * \cos(\epsilon(t)) * \sin(p(t))^2 * \text{diff}(\lambda(t), t) \\
 & * \text{diff}(p(t), t) = 0
 \end{aligned} \tag{۲۶}$$

معادله دوم:

$$\begin{aligned}
 & Kf * Lh * (Vb - Vf) + 2 * Lh^2 * Mf * \text{diff}(p(t), t, t) + 2 * Lh^2 * Mf \\
 & * \sin(\epsilon(t)) * \text{diff}(\lambda(t), t, t) + 2 * Lh^2 * Mf \\
 & * \cos(\epsilon(t)) * \text{diff}(\epsilon(t), t) \\
 & * \text{diff}(\lambda(t), t) - 2 * Lh^2 * Mf * \cos(p(t)) \\
 & * \sin(p(t)) * \text{diff}(\epsilon(t), t)^2 - 2 * Lh^2 * Mf \\
 & * \cos(\epsilon(t)) * \cos(p(t))^2 * \text{diff}(\epsilon(t), t) \\
 & * \text{diff}(\lambda(t), t) + 2 * Lh^2 * Mf * \cos(\epsilon(t))^2 \\
 & * \cos(p(t)) * \sin(p(t)) * \text{diff}(\lambda(t), t)^2 + 2 * Lh^2 \\
 & * Mf * \cos(\epsilon(t)) * \sin(p(t))^2 * \text{diff}(\epsilon(t), t) \\
 & * \text{diff}(\lambda(t), t) = 0
 \end{aligned} \tag{۲۷}$$



معادله سوم:

$$\begin{aligned}
& 2 * Lh^2 * Mf * diff(lambda(t), t, t) + 2 * La^2 * Mf \\
& \quad * cos(epsilon(t))^2 * diff(lambda(t), t, t) - 2 * Lh^2 \\
& \quad * Mf * cos(epsilon(t))^2 * diff(lambda(t), t, t) + Lw^2 \\
& \quad * Mw * cos(epsilon(t))^2 * diff(lambda(t), t, t) - Kf \\
& \quad * La * sin(p(t)) * (Vb + Vf + (g * (2 * La * Mf - Lw \\
& \quad * Mw)) / (Kf * La)) + 2 * Lh^2 * Mf * sin(epsilon(t)) \\
& \quad * diff(p(t), t, t) + 2 * Lh^2 * Mf * cos(epsilon(t)) \\
& \quad * diff(epsilon(t), t) * diff(p(t), t) + 2 * Lh^2 * Mf \\
& \quad * cos(epsilon(t))^2 * cos(p(t))^2 * diff(lambda(t), t, t) \\
& \quad - 4 * La^2 * Mf * cos(epsilon(t)) * sin(epsilon(t)) \\
& \quad * diff(epsilon(t), t) * diff(lambda(t), t) + 4 * Lh^2 \\
& \quad * Mf * cos(epsilon(t)) * sin(epsilon(t)) \\
& \quad * diff(epsilon(t), t) * diff(lambda(t), t) - 2 * Lw^2 \\
& \quad * Mw * cos(epsilon(t)) * sin(epsilon(t)) \\
& \quad * diff(epsilon(t), t) * diff(lambda(t), t) - 2 * Lh^2 \\
& \quad * Mf * cos(p(t)) * sin(epsilon(t)) * sin(p(t)) \\
& \quad * diff(epsilon(t), t)^2 + 2 * Lh^2 * Mf \\
& \quad * cos(epsilon(t)) * cos(p(t)) * sin(p(t)) \\
& \quad * diff(epsilon(t), t, t) + 2 * Lh^2 * Mf * cos(epsilon(t)) \\
& \quad * cos(p(t))^2 * diff(epsilon(t), t) * diff(p(t), t) - 2 \\
& \quad * Lh^2 * Mf * cos(epsilon(t)) * sin(p(t))^2 \\
& \quad * diff(epsilon(t), t) * diff(p(t), t) - 4 * Lh^2 * Mf \\
& \quad * cos(epsilon(t))^2 * cos(p(t)) * sin(p(t)) \\
& \quad * diff(lambda(t), t) * diff(p(t), t) - 4 * Lh^2 * Mf \\
& \quad * cos(epsilon(t)) * cos(p(t))^2 * sin(epsilon(t)) \\
& \quad * diff(epsilon(t), t) * diff(lambda(t), t)
\end{aligned} \tag{28}$$

حال با استفاده از دستور odeToVectorField متلب، این معادلات مرتبه دوم را به شش معادله مرتبه اول تبدیل کرده و مقادیر ثوابت را جایگزین می‌کنیم. معادلات بسیار طولانی هستند و با اجرای کد بخش غیر خطی و خروجی گرفتن از متغیر V ، معادلات غیر خطی مرتبه اول بدست می‌آیند.



۲-۶- فضای حالت

پس از خطی سازی معادلات، باید معادلات فضای حالت را بدست آوریم. متغیرهای حالت را به صورت زیر تعریف می کنیم:

$$\begin{bmatrix} x_1 \\ x_2 \\ x_3 \\ x_4 \\ x_5 \\ x_6 \end{bmatrix} = \begin{bmatrix} \epsilon \\ \rho \\ \lambda \\ \dot{\epsilon} \\ \dot{\rho} \\ \dot{\lambda} \end{bmatrix} \quad (29)$$

بنابراین از معادلات خطی شده حول نقطه تعادل داریم:

$$\left\{ \begin{array}{l} \dot{x}_1 = x_4 \\ \dot{x}_2 = x_5 \\ \dot{x}_3 = x_6 \\ \dot{x}_4 = \frac{L_a K_f}{2m_f L_a^2 + m_w L^2} (u_1 + u_2) \\ \dot{x}_5 = \frac{1}{2} \left(\frac{K_f}{m_f * L_h} \right) (u_1 - u_2) \\ \dot{x}_6 = - \frac{(L_w m_w - 2L_a m_f) g}{m_w L_w^2 + 2m_f L_h^2 + 2m_f L_a^2} (x_2) \end{array} \right. \quad (30)$$

همچنین در صورت مساله ذکر شده است که خروجی های مورد نظر، زوایای ϵ ، ρ و λ هستند. بنابراین، می توان معادلات فضای حالت را به صورت زیر خلاصه کرد:

$$A = \begin{bmatrix} 0 & 0 & 0 & 1 & 0 & 0 \\ 0 & 0 & 0 & 0 & 1 & 0 \\ 0 & 0 & 0 & 0 & 0 & 1 \\ 0 & 0 & 0 & 0 & 0 & 0 \\ 0 & 0 & 0 & 0 & 0 & 0 \\ 0 & -\frac{(L_w m_w - 2L_a m_f) g}{m_w L_w^2 + 2m_f L_h^2 + 2m_f L_a^2} & 0 & 0 & 0 & 0 \end{bmatrix}$$



$$B = \begin{bmatrix} 0 & 0 \\ 0 & 0 \\ 0 & 0 \\ \frac{L_a K_f}{2m_f L_a^2 + m_w L_w^2} & \frac{L_a K_f}{2m_f L_a^2 + m_w L_w^2} \\ \frac{1}{2} \frac{K_f}{m_f L_h} & -\frac{1}{2} \frac{K_f}{m_f L_h} \\ 0 & 0 \end{bmatrix}$$

$$C = \begin{bmatrix} 1 & 0 & 0 & 0 & 0 & 0 \\ 0 & 1 & 0 & 0 & 0 & 0 \\ 0 & 0 & 1 & 0 & 0 & 0 \end{bmatrix}$$

$$D = \begin{bmatrix} 0 & 0 \\ 0 & 0 \\ 0 & 0 \end{bmatrix}$$

اکنون که مرحله مدل سازی سیستم به اتمام رسید، به سراغ بخش کنترل این هلیکوپتر می رویم.

۳. کنترل

در این بخش ابتدا سیستم مدار باز از نظر انواع پایداری مورد بررسی قرار می گیرد، سپس سیستم حلقه بسته با فیدبک حالت طراحی می شود، فیدبک حالت طراحی شده بر روی سیستم غیرخطی آزمایش می شود، کنترلر ردیاب حالت با انتگرال گیر طراحی می شود، مقاومت کنترلر به اغتشاشات و تغییرات پارامترهای سیستم مورد ارزیابی قرار می گیرد، رویت گر مرتبه کامل و سپس رویت گر مرتبه کاهش یافته ارائه می گردد و در انتها، سیستم فیدبک حالت با رویتگر کاهش مرتبه یافته برای ردیابی زوایای خطی و سینوسی دلخواه مورد بررسی واقع می شود.

۳-۱- بررسی پایداری سیستم خطی مدار باز

در این بخش، پایداری سیستم مدار باز از نظر BIBO، لیاپانوف و مارجینال مورد بررسی قرار می گیرد.



۳-۱-۱- بررسی پایداری سیستم از نظر BIBO:

سیستم زمانی از نظر BIBO پایدار است که در شرایط اولیه صفر، به ازای ورودی محدود، خروجی محدود تولید کند. از نظر ریاضی، این شرط معادل آن است که تمامی قطب‌های تابع تبدیل سیستم دارای بخش حقیقی منفی باشند. با محاسبه تابع تبدیل معادلات فضای حالت داده شده در مطلب، این تابع تبدیل به صورت زیر در می‌آید:

$$\hat{G}(s) = \begin{bmatrix} \frac{0.0758}{s^2} & \frac{0.0758}{s^2} \\ \frac{0.0468}{s^2} & -\frac{0.0468}{s^2} \\ \frac{0.265}{s^4} & \frac{0.265}{s^4} \end{bmatrix} \quad (31)$$

همان‌طور که مشاهده می‌شود، تمامی قطب‌های تابع تبدیل در نقطه ۰ قرار دارند. بنابراین سیستم از نظر BIBO پایدار نیست.

۳-۱-۲- بررسی پایداری سیستم از نظر لیاپانوف

سیستم به صورت مجانبی پایدار است اگر یک تابع اسکالر مانند $V(x)$ وجود داشته باشد که خود آن تابع و مشتقاتش در شرایط زیر صدق کند:

$$\begin{cases} V(x) > 0, x \neq 0 \\ V(0) = 0 \\ \dot{V}(x) < 0, x \neq 0 \end{cases} \quad (32)$$

از نظر ریاضی، این شرط بدان معناست که ماتریس M مثبت معینی پیدا شود که در معادله زیر صدق کند. (ماتریس Q نیز یک ماتریس مثبت معین باید باشد که ماتریس I در نظر می‌گیریم).

$$\begin{cases} AP + PA' = -Q \\ M = P^{-1} \end{cases} \quad (33)$$

با استفاده از دستور Lyap، متلب، دیده می‌شود که این معادله غیرقابل حل بوده و در نتیجه چنین ماتریسی یافت نشد. پس سیستم از نظر لیاپانوف نیز پایداری ندارد.



۳-۱-۳- بررسی پایداری مارچینال

یک سیستم در صورتی از نظر مارچینال پایدار است اگر و تنها اگر تمامی مقادیر ویژه ماتریس A دارای بخش حقیقی صفر یا منفی باشند و اگر بخش حقیقی صفر بود، ریشه‌های ساده چند جمله‌ای حداقلی ماتریس A باشند.

ابتدا مقادیر ویژه ماتریس A را در متلب بدست می‌آوریم. با انجام این کار، تمامی ۶ مقدار ویژه این ماتریس برابر عدد ۰ بدست می‌آید. همچنین با بررسی چند جمله‌ای حداقلی ماتریس A ، داریم:

$$\lambda^4 = 0 \quad (34)$$

که واضحاً ریشه‌ی صفر، ریشه ساده این معادله نیست. بنابراین سیستم مدار باز از نظر مارچینال هم پایدار نیست.

۳-۲- طراحی سیستم حلقه بسته

در این بخش ابتدا کنترل‌پذیری و رویت‌پذیری سیستم بررسی می‌شود، سپس دو دسته قطب سریع و کند برای فیدبک بهره حالت معین می‌شود که به ازای شرایط اولیه غیر صفر، سیستم را به حالت تعادل برساند. سیستم در سیمولینک نیز شبیه‌سازی شده و نتایج آن بررسی می‌گردد.

۳-۲-۱- بررسی کنترل‌پذیری و رویت‌پذیری سیستم

برای بررسی رویت‌پذیری و کنترل‌پذیری سیستم، رنک ماتریس‌های رویت‌پذیری و کنترل‌پذیری را محاسبه کرده و در صورت فول رنک بودن، می‌توان گفت که سیستم رویت‌پذیر و کنترل‌پذیر است.

برای کنترل‌پذیری سیستم داریم:

$$C = [B \quad AB \quad A^2B \quad \dots \quad A^5B] \quad (35)$$

مقدار این ماتریس به صورت زیر بدست می‌آید:



0	0	0.0758	0.0758	0	0	0	0	0	0	0	0
0	0	0.4680	-0.4680	0	0	0	0	0	0	0	0
0	0	0	0	0	0	0.2646	-0.2646	0	0	0	0
0.0758	0.0758	0	0	0	0	0	0	0	0	0	0
0.4680	-0.4680	0	0	0	0	0	0	0	0	0	0
0	0	0	0	0.2646	-0.2646	0	0	0	0	0	0

که رنک آن برابر ۶ است و در نتیجه سیستم کنترل پذیر است.

برای رویت پذیری سیستم داریم:

$$O = \begin{bmatrix} C \\ CA \\ CA^2 \\ \vdots \\ CA^5 \end{bmatrix} \quad (36)$$

مقدار این ماتریس به صورت زیر بدست می آید:

1.0000	0	0	0	0	0
0	1.0000	0	0	0	0
0	0	1.0000	0	0	0
0	0	0	1.0000	0	0
0	0	0	0	1.0000	0
0	0	0	0	0	1.0000
0	0	0	0	0	0
0	0	0	0	0	0
0	0.5653	0	0	0	0
0	0	0	0	0	0
0	0	0	0	0	0
0	0	0	0	0.5653	0
0	0	0	0	0	0
0	0	0	0	0	0
0	0	0	0	0	0
0	0	0	0	0	0
0	0	0	0	0	0
0	0	0	0	0	0
0	0	0	0	0	0

که رنک آن برابر ۶ است و در نتیجه سیستم رویت پذیر است.



۳-۲-۲- طراحی فیدبک بهره حالت

با مشخص شدن این که سیستم کنترل پذیر است، می توانیم کنترلی طراحی کنیم که قطب های سیستم را به نقاطی از صفحه که تمایل داریم، منتقل کنیم.

در ابتدا تلاش شد تا با استفاده از روش تدریس شده (مکان یابی قطب ها در کمان دایره) به حالت مطلب خواسته شده رسید. اما به دلیل آنکه تغییرات این روش به شدت غیر خطی است و با اندکی تغییر مکان قطب ها نتایج به شرت تغییر می کنند، تصمیم گرفته شد تا با استفاده از یک روش کنترلی بهینه رگولاتور درجه دوم خطی (Linear Quadratic Regulator) است که به اختصار LQR خوانده می شود، قطب های سیستم تعیین شوند. در این روش، یک تابع هزینه به صورت زیر تعریف می شود:

$$\begin{cases} J(u) = \int_0^{\infty} (x^T Q x + u^T R u + 2x^T N u) dt \\ u = -Kx \end{cases} \quad (37)$$

که ماتریس های Q ، R و N ماتریس های جریمه ای هستند که بر روی حالات و ورودی های سیستم اثر کرده و رفتار مطلوب را ایجاد می کنند. ماتریس N را صفر در نظر گرفته و ماتریس های Q (با ابعاد 6×6) و R (با ابعاد 2×2) به صورت قطری تعیین شده و سعی و خطای بسیار، به خواسته های پروژه رسیده شده است.

قطب های سریع:

در این بخش، خواسته شده است تا قطب ها به گونه ای انتخاب شوند که تمامی حالات سیستم در کمتر از یک ثانیه، از حالت اولیه به تعادل برسند.

شرایط اولیه به صورت زیر تعریف شده است:

$$x_0 = [0.03, -0.01, 0.02, -0.04, 0.03, -0.02]';$$

ماتریس های قطری Q و R نیز بدین شرح اند:



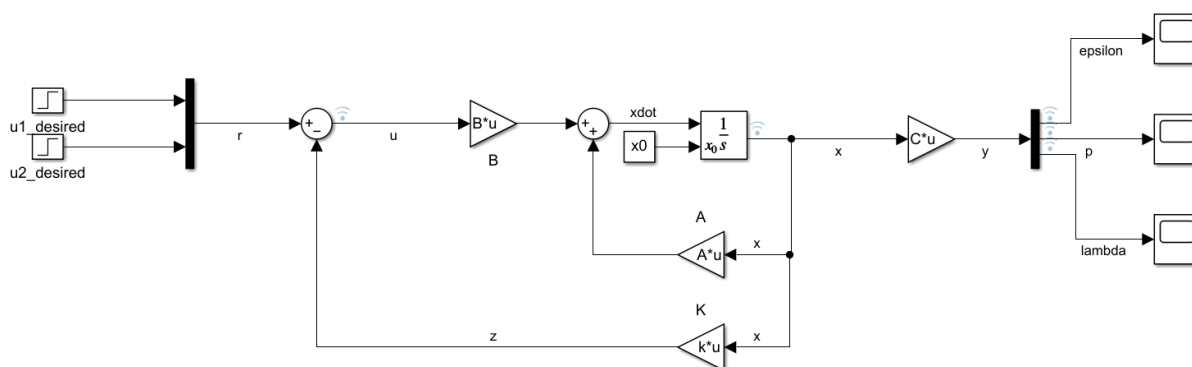
$$\begin{cases} Q_e = 500 \\ Q_p = 10000 \\ Q_\lambda = 20000 \\ Q_{ed} = 0 \\ Q_{pd} = 1000 \\ Q_{\lambda d} = 0 \end{cases}$$

$$Q = \text{diag}([Q_e, Q_p, Q_\lambda, Q_{ed}, Q_{pd}, Q_{\lambda d}])$$

$$\begin{cases} R_{u1} = 0.008 \\ R_{u2} = 0.011 \end{cases}$$

$$R = \text{diag}([R_{u1}, R_{u2}])$$

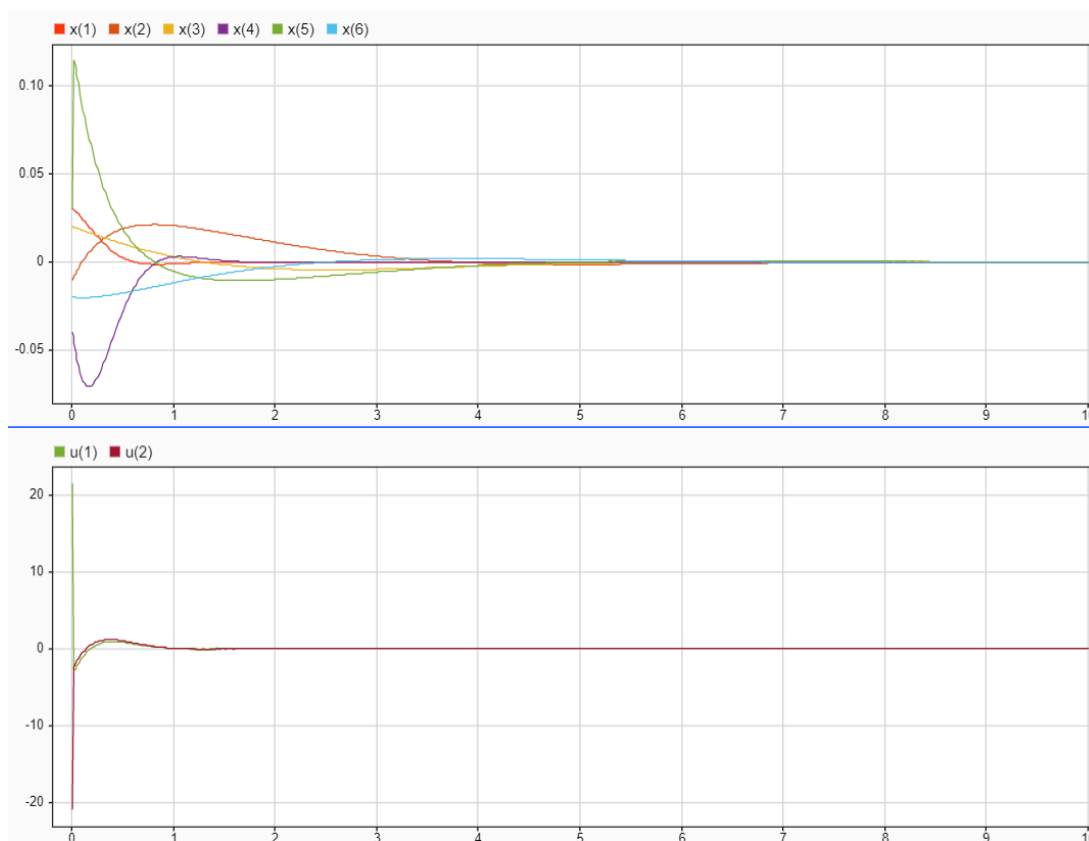
بلوک دیاگرام این بخش، مانند شکل ۳ است.



شکل ۳: بلوک دیاگرام سیستم با فیدبک حالت



پاسخ سیستم و همچنین ولتاژهای دو موتور به صورت زیر است:



شکل ۴: حالات سیستم و ولتاژها - سیستم با فیدبک حالت و قطب‌های سریع

همان‌طور که مشاهده می‌شود، ولتای سیستم بین -۲۲ و ۲۲ ولت قرار دارد که محدود مجاز است. همچنین با در نظر گرفتن معیار ۲ درصد برای پایداری، تمامی حالت‌های سیستم زیر ۱ ثانیه به تعادل رسیده‌اند.

قطب‌های کند:

در این بخش، خواسته شده‌است تا قطب‌ها به گونه‌ای انتخاب شوند که تمامی حالات سیستم در کمتر از سه ثانیه، از حالت اولیه به تعادل برسند.

شرایط اولیه به صورت زیر تعریف شده است:

$$x_0 = [0.03 \quad -0.02 \quad 0.03 \quad -0.04 \quad 0.03 \quad -0.02]'$$

ماتریس‌های قطری Q و R نیز بدین شرح‌اند:



$$\begin{cases} Q_e = 10 \\ Q_p = 10 \\ Q_\lambda = 4000 \\ Q_{ed} = 100 \\ Q_{pd} = 10000 \\ Q_{\lambda d} = 0 \end{cases}$$

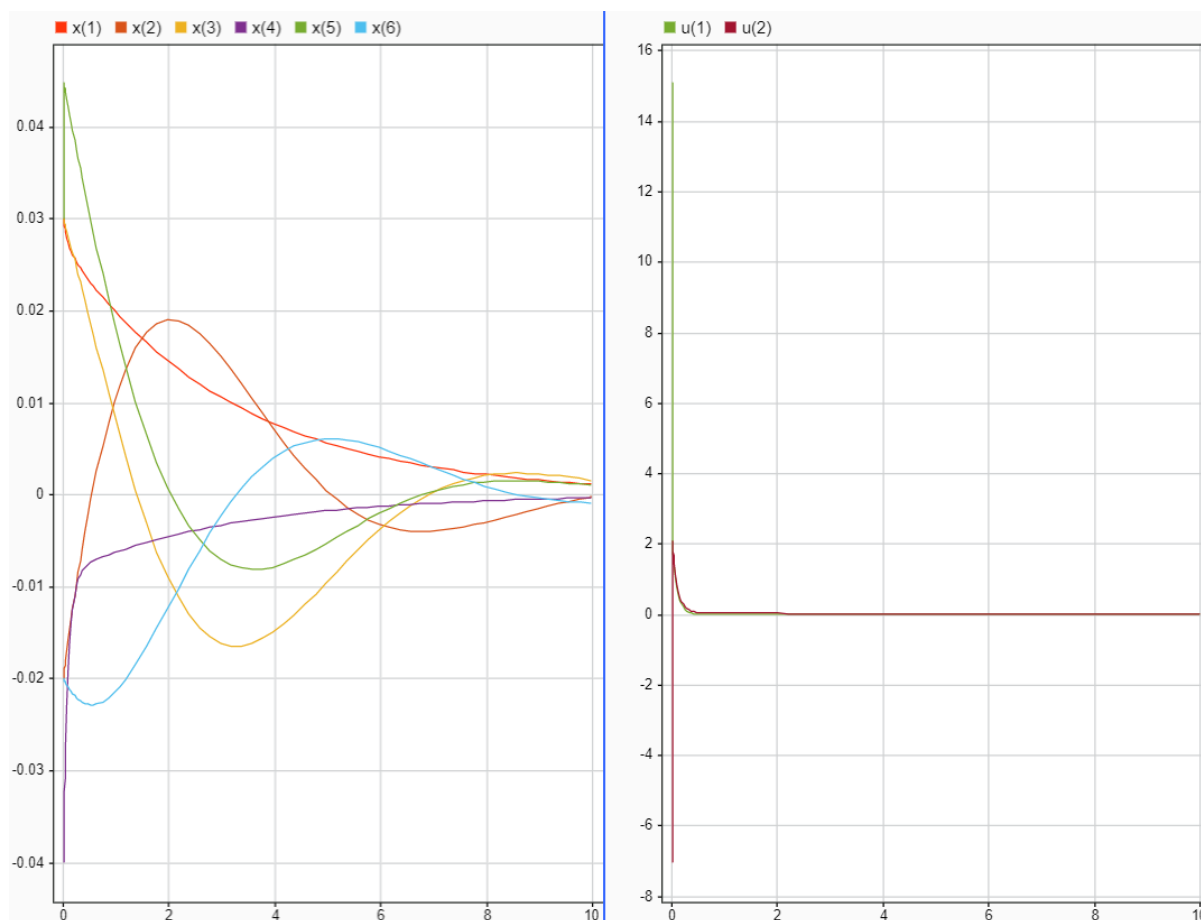
$$Q = \text{diag}([Q_e, Q_p, Q_\lambda, Q_{ed}, Q_{pd}, Q_{\lambda d}])$$

$$\begin{cases} R_{u1} = 0.008 \\ R_{u2} = 0.011 \end{cases}$$

$$R = \text{diag}([R_{u1}, R_{u2}])$$



بلوک دیاگرام این بخش، مانند شکل ۳ است. پاسخ سیستم و همچنین ولتاژهای دو موتور به صورت زیر است:

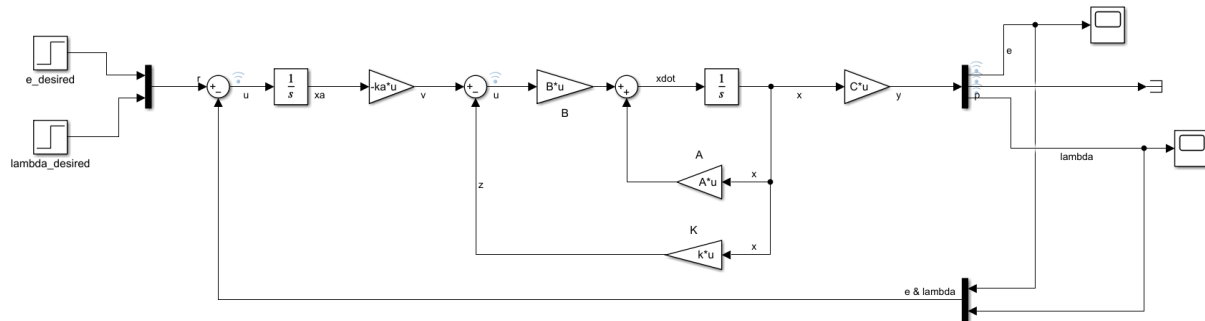


شکل ۵: حالات سیستم و ولتاژها - سیستم با فیدبک حالت و قطب‌های کند

۳-۳- کنترل ردیاب حالت به روش انتگرال گیر

در این بخش، هدف آن است تا برای سیستم یک کنترل ردیاب حالت به روش انتگرال گیر طراحی شود که زوایای ϵ و λ بتواند مقادیر پله داده شده را در کمتر از ۱.۵ ثانیه تعقیب کند. سیستم در این حالت به صورت عملگر ناقص است و به طور همزمان تنها دو خروجی را می‌تواند در مقادیر دلخواه ردیابی کند.

شکل کلی سیستم با کنترلر ردیاب حالت به روش انتگرال گیر، به صورت شکل ۶ است.



شکل ۶: بلوک دیاگرام سیستم با کنترلر ردیاب حالت به روش انتگرال گیر

با توجه به وجود انتگرال گیر برای دو خروجی مد نظر، دو حالت افزوده به سیستم اضافه می شود که آن ها را با $x_{a\lambda}$ و x_{ae} نمایش می دهیم. به همین ترتیب، به ماتریس K نیز دو بهره جدید k_{ae} و $k_{a\lambda}$ اضافه می شود و به ماتریسی با ابعاد 8×2 در می آید.

برای تعیین قطب های این سیستم نیز مجدداً از روش LQR استفاده شده است. پارامترهای استفاده شده در این بخش، بدین شرح هستند.

$$\begin{cases} Q_e = 40000 \\ Q_p = 0 \\ Q_\lambda = 40000 \\ Q_{ed} = 0 \\ Q_{pd} = 0 \\ Q_{\lambda d} = 0 \\ Q_{ae} = 500000 \\ Q_{a\lambda} = 600000 \end{cases}$$

$$Q = \text{diag}([Q_e, Q_p, Q_\lambda, Q_{ed}, Q_{pd}, Q_{\lambda d}, Q_{ae}, Q_{a\lambda}])$$

$$\begin{cases} R_{u1} = 0.004 \\ R_{u2} = 0.0001 \end{cases}$$

$$R = \text{diag}([R_{u1}, R_{u2}])$$

همچنین ماتریس های تغییر یافته A و B و C که با نمادهای aa و bb و $C1$ نمایش داده شده اند، به صورت زیر در می آیند.

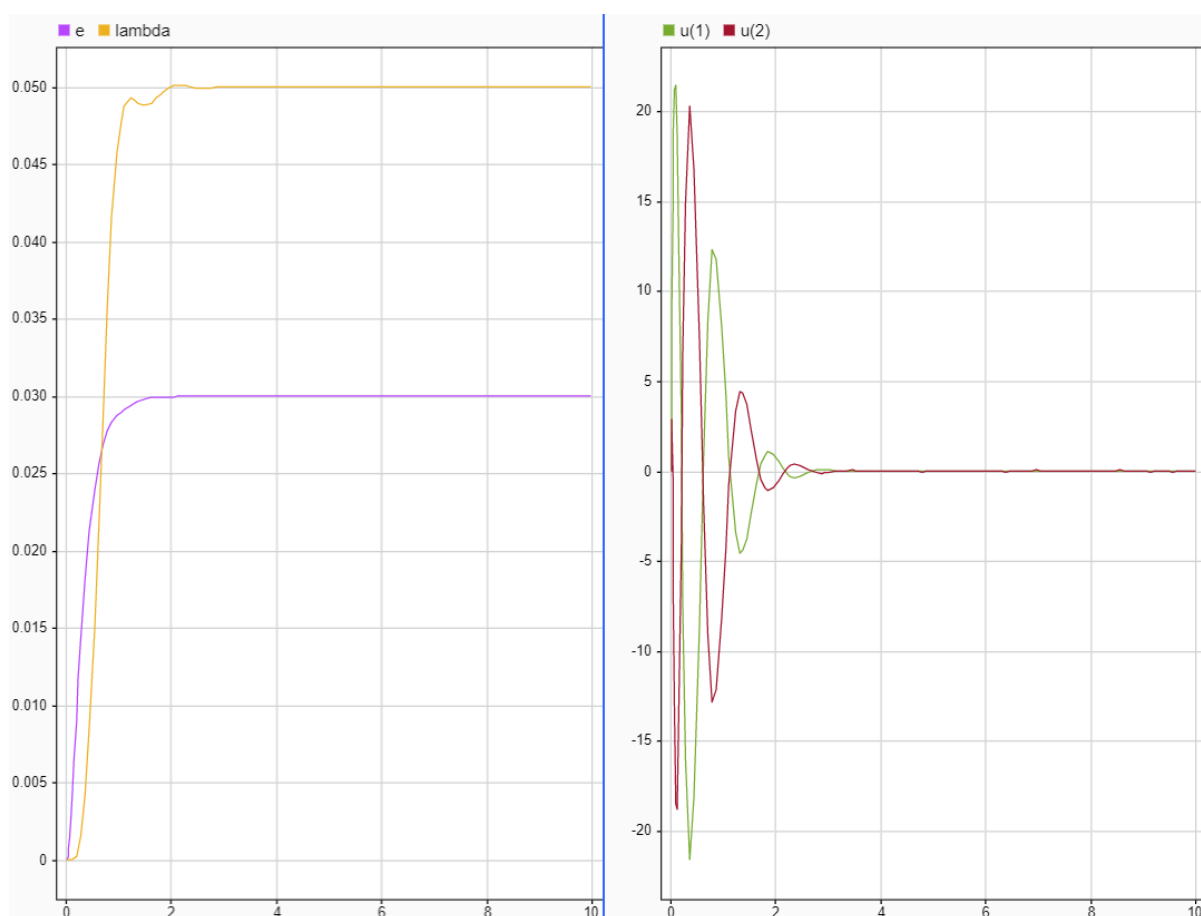
$$C1 = \begin{bmatrix} 1 & 0 & 0 & 0 & 0 & 0 \\ 0 & 0 & 1 & 0 & 0 & 0 \end{bmatrix}$$



$$aa = \begin{bmatrix} A & O_{6 \times 2} \\ -C1 & O_{2 \times 2} \end{bmatrix}$$

$$bb = \begin{bmatrix} B \\ O_{2 \times 2} \end{bmatrix}$$

با شبیه‌سازی سیستم در سیمولینک و انتخاب مقادیر دلخواه زوایای ϵ و λ به ترتیب برابر با 0.03 و 0.05 رادیان، رفتار سیستم به صورت شکل ۷ در می‌آید.



شکل ۷: زوایای ϵ و λ و ولتاژها - سیستم با کنترل ردیاب حالت به روش انتگرال گیر

با توجه به نمودارها، واضح است که ولتاژها در محدود قابل قبول قرار دارد و زوایای تحت کنترل نیز در کمتر از ۱.۵ ثانیه، به مقادیر دلخواه رسیده است.



۳-۴- بررسی مقاومت سیستم در برابر اغتشاش و تغییر پارامترها

در این بخش، مقاومت کنترلر طراحی شده در بخش قبلی را در برابر تغییر پارامترهای سیستم (به اندازه مثبت یا منفی ده درصد) و همچنین اغتشاش به صورت نیرویی که به وزنه در جهت عکس محور elevation وارد می‌شود، بررسی می‌کنیم.

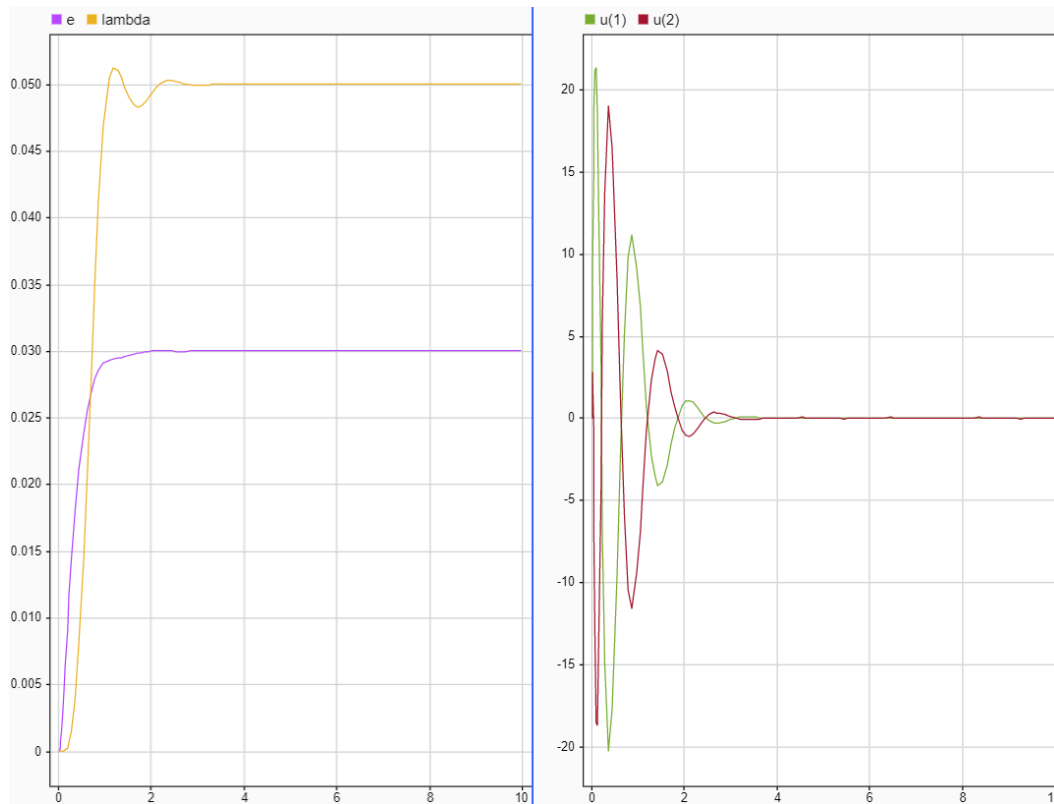
۳-۴-۱- بررسی مقاومت در برابر تغییر پارامترهای سیستم

طبق خواسته صورت سوال، پارامترهای سیستم شامل جرم‌ها و طول‌ها را به اندازه ده درصد تغییر می‌دهیم و مجدداً سیستم را شبیه‌سازی می‌کنیم.

پارامترها پس از تغییر، بدین صورت در می‌آیند:

$$\begin{cases} Mb = 1.1 * 0.713 \\ Mf = 0.9 * 0.713 \\ La = 1.1 * 0.66 \\ Lw = 1.1 * 0.47 \\ Lh = 1.1 * 0.178 \\ Kf = 0.1188 \end{cases}$$

با اجرای شبیه‌سازی، رفتار سیستم به صورت شکل ۸ در می‌آید.



شکل ۸: زوایای ϵ و λ و ولتاژها - عکس العمل سیستم به تغییر پارامترها

در این نمودار مشاهده می‌شود سیستم تقریباً در ۱.۲ ثانیه به تعادل می‌رسد که با توجه به طراحی کنترلر برای پارامترهای اولیه، نتایج قابل قبول است. ولتاژها نیز در بازه مجاز قرار دارند.

۳-۴-۲- بررسی مقاومت در برابر اغتشاش خارجی

در این بخش، عملکرد ردیابی در حضور اغتشاش پله نیرو در محل وزن متعادل کننده بررسی می‌گردد. این نیرو، گشتاوری حول محور انتقال ایجاد می‌کند که مقدار آن برابر است با:

$$T = I * \ddot{\lambda} \quad (38)$$

ممان I حول محور انتقال، برابر ممان اینرسی وزنه و دو مجموعه موتور است. (با توجه به تقریب‌های مطرح شده در ابتدای پروژه) که برابر است با:

$$I = Mw * Lw^2 + 2 * Mf * (La^2 + Lh^2) \quad (39)$$

بنابراین، ماتریس فضای حالت نیز بدین صورت در خواهد آمد:

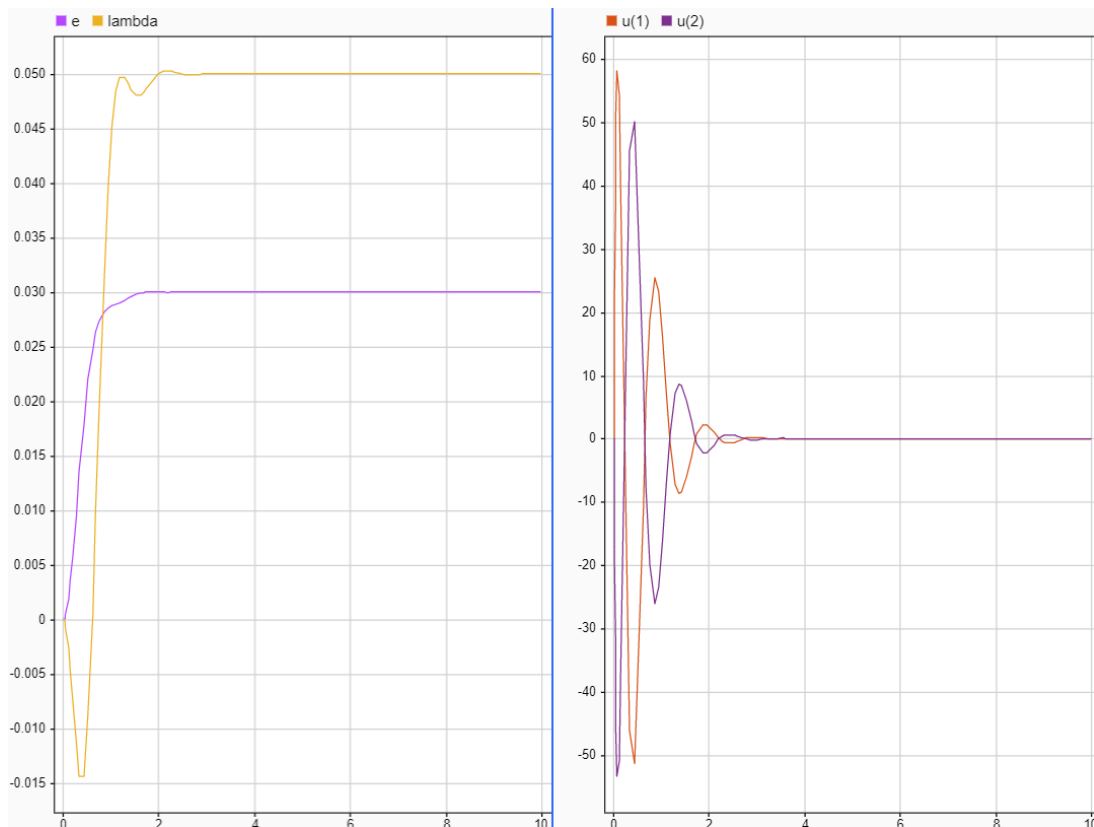


بلوک دیاگرام سیستم در حضور اغتشاش نیز همانند شکل ۹ است.

شکل ۹: بلوک دیاگرام سیستم در حضور اغتشاش



پاسخ سیستم با پارامترهای قبلی به این بخش، در شکل ۱۰ آمده است. نیروی وارده ۱ نیوتون فرض شده است.



شکل ۱۰: پاسخ سیستم در حضور اغتشاش

مشاهده می شود که ولتاژها در حدود دو برابر مقدار قابل تحمل هستند و بنابراین، باید کنترلر دیگری طراحی کرد تا بتواند با اعمال ولتاژ کمتر، در برابر نیروی یک نیوتونی مقاومت کرده و در مدت زمان بیشتر، سیستم را به مقادیر خواسته شده برود.

۳-۵- طراحی رویت گر مرتبه کامل

در این قسمت، یک رویت گر مرتبه کامل طراحی می شود که تخمین های آن در کمتر از ۱ ثانیه به متغیرهای حالت واقعی همگرا می گردد و سیستم مدار بسته را برای شرایط اولیه دلخواه در حضور رویت گر مرتبه کامل در بازه ۰ تا ۱۰ ثانیه شبیه سازی می شود.



در حضور رویت گر مرتبه کامل، فرض می شود که مقادیر هیچ یک از متغیرهای حالت را نداریم و باید تخمین زده شوند. از آنجا که شرایط اولیه نسبت به حالت ۷ تغییر می کند، کنترلر با مقادیر جدیدی جایگزین می شود تا بتواند همچنان در زمان کوتاه، به مقادیر خواسته شده برسد:

$$\begin{cases} Q_e = 1000 \\ Q_p = 0 \\ Q_\lambda = 10000 \\ Q_{ed} = 1500 \\ Q_{pd} = 0 \\ Q_{\lambda d} = 1200 \\ Q_{ae} = 40000 \\ Q_{a\lambda} = 40000 \end{cases}$$

$$Q = \text{diag}([Q_e, Q_p, Q_\lambda, Q_{ed}, Q_{pd}, Q_{\lambda d}, Q_{ae}, Q_{a\lambda}])$$

$$\begin{cases} R_{u1} = 0.5 \\ R_{u2} = 0.03 \end{cases}$$

$$R = \text{diag}([R_{u1}, R_{u2}])$$

قطب های رویت گر نیز توسط مکان یابی مستقیم قطب ها و دستور place در متلب صورت می گیرد. از آنجا که شش حالت باید تخمین زده شوند، شش حالت قطب نیز برای رویت گر مورد نیاز است. دایره ای به شعاع ۱۰ تعریف شده است و جفت قطب ها به صورت قرینه نسبت به محور x، با زاویه ی $\pm \gamma_i$ بر روی این دایره قرار می گیرند. مقادیر این زوایا به درجه بدین صورت است:

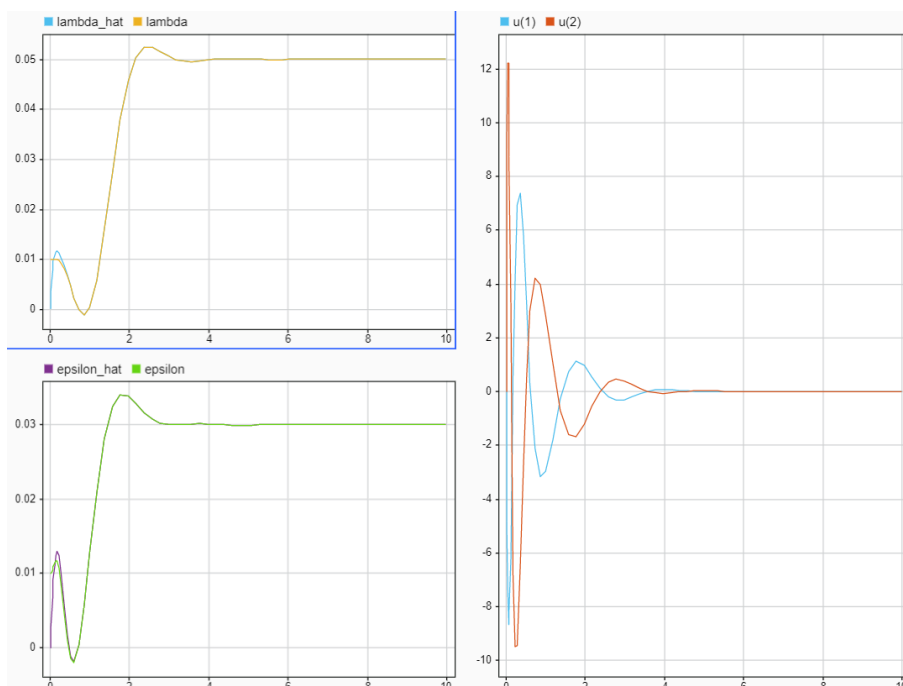
$$\begin{cases} \gamma_1 = 15 \\ \gamma_2 = 30 \\ \gamma_3 = 40 \end{cases}$$

همچنین مقادیر اولیه غیر صفر برای تعدادی از متغیرها داده شده است تا توانایی رویت گر در ردیابی مورد ارزیابی قرار گیرد.

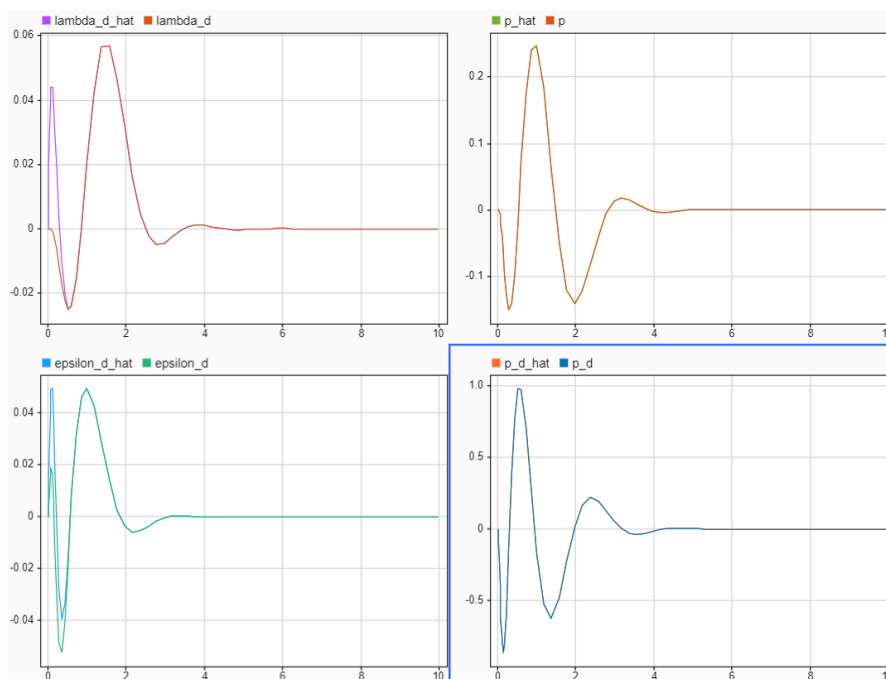
$$x_0 = [0.01, 0, 0.01, 0, 0, 0]'$$



با شبیه‌سازی این سیستم برای ۱۰ ثانیه، نمودارهای زیر حاصل می‌شود:



شکل ۱۲: ورودی‌ها، خروجی‌ها و مقادیر تخمین زده شده زوایای λ و ϵ



شکل ۱۳: خروجی‌ها و مقادیر تخمین زده شده برای حالت‌ها ۲، ۴، ۵ و ۶ سیستم



لازم به ذکر است که با سعی و خطای بسیار و به دلیل وجود شرایط اولیه، ردیابی سیگنال‌ها در ۱.۵ ثانیه میسر نشد و در حدود دو ثانیه طول می‌کشد تا با معیار ۵ درصد، به پایداری برسند. البته که با کوچکتر در نظر گرفتن مقادیر اولیه و خواسته شده، می‌توان به این خواسته دست یافت.

۳-۶- طراحی رویت گر کاهش مرتبه یافته

در این بخش، فرض شده است که سه زاویه اصلی قابل اندازه‌گیری اند و باید رویت‌گری طراحی شود که بتواند ۳ متغیر حالت باقی‌مانده (یعنی مشتق اول زوایا) را تخمین بزند. با توجه به اینکه سیستم دارای ۳ خروجی است و در کل ۶ متغیر حالت داریم، مراحل کار به شرح زیر است:

۱- یک ماتریس دلخواه F با ابعاد 3×3 در نظر می‌گیریم که هیچ‌یک از مقادیر ویژه آن با ماتریس A برابر نباشد:

$$F = \text{Diag}(-10, -20, -30)$$

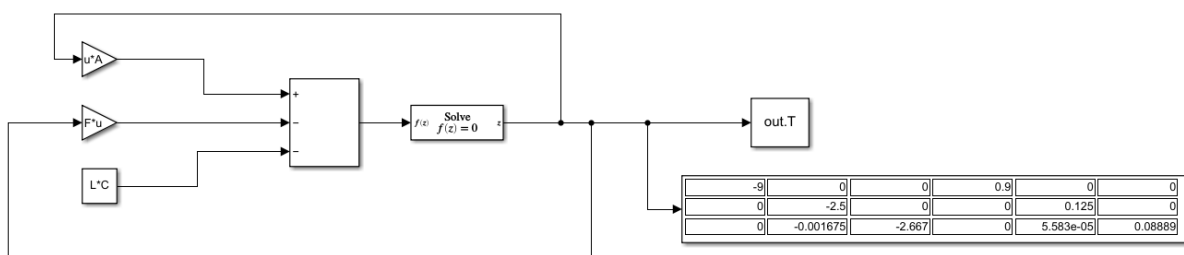
۲- یک ماتریس L با ابعاد 3×3 در نظر می‌گیریم به طوری که زوج (F, L) کنترل پذیر باشد:

$$L = \text{Diag}(-90, -50, -80)$$

۳- ماتریس T با ابعاد 3×6 را طوری می‌یابیم که در معادله زیر صدق کند:

$$TA - FT = LC \quad (40)$$

بدین منظور، بلوک دیاگرامی در سیمولینک ساخته شده است که این معادله را حل می‌کند:



شکل ۱۴: بلوک دیاگرام حل معادله برای بدست آوردن متغیر T

۴- چک می‌کنیم که ماتریس P ، ناویژه باشد:

$$P = \begin{bmatrix} C \\ T \end{bmatrix} \quad (41)$$

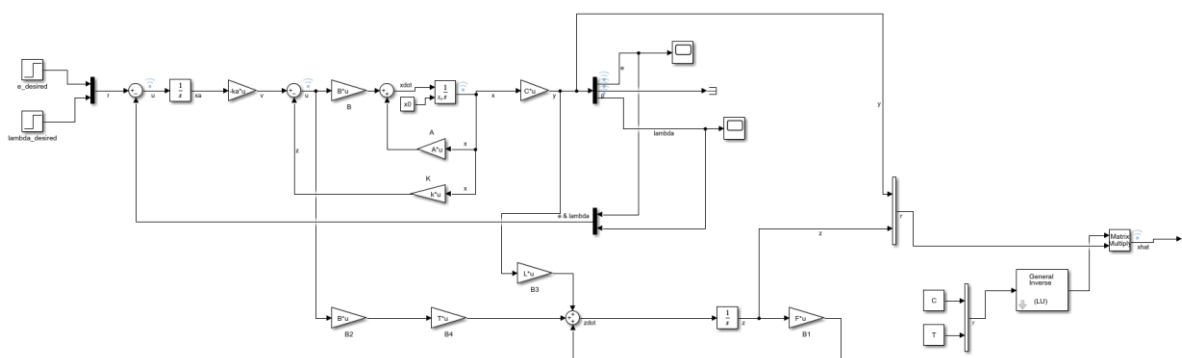


با چک کردن در متلب، این گزاره درست است.

۵- معادلات زیر، دینامیک متغیر z و نیز مقادیر تخمینی را به ما می‌دهد:

$$\begin{cases} \dot{z} = Fz + TBu + Ly \\ \hat{x} = \begin{bmatrix} C \\ T \end{bmatrix}^{-1} \begin{bmatrix} y \\ z \end{bmatrix} \end{cases} \quad (42)$$

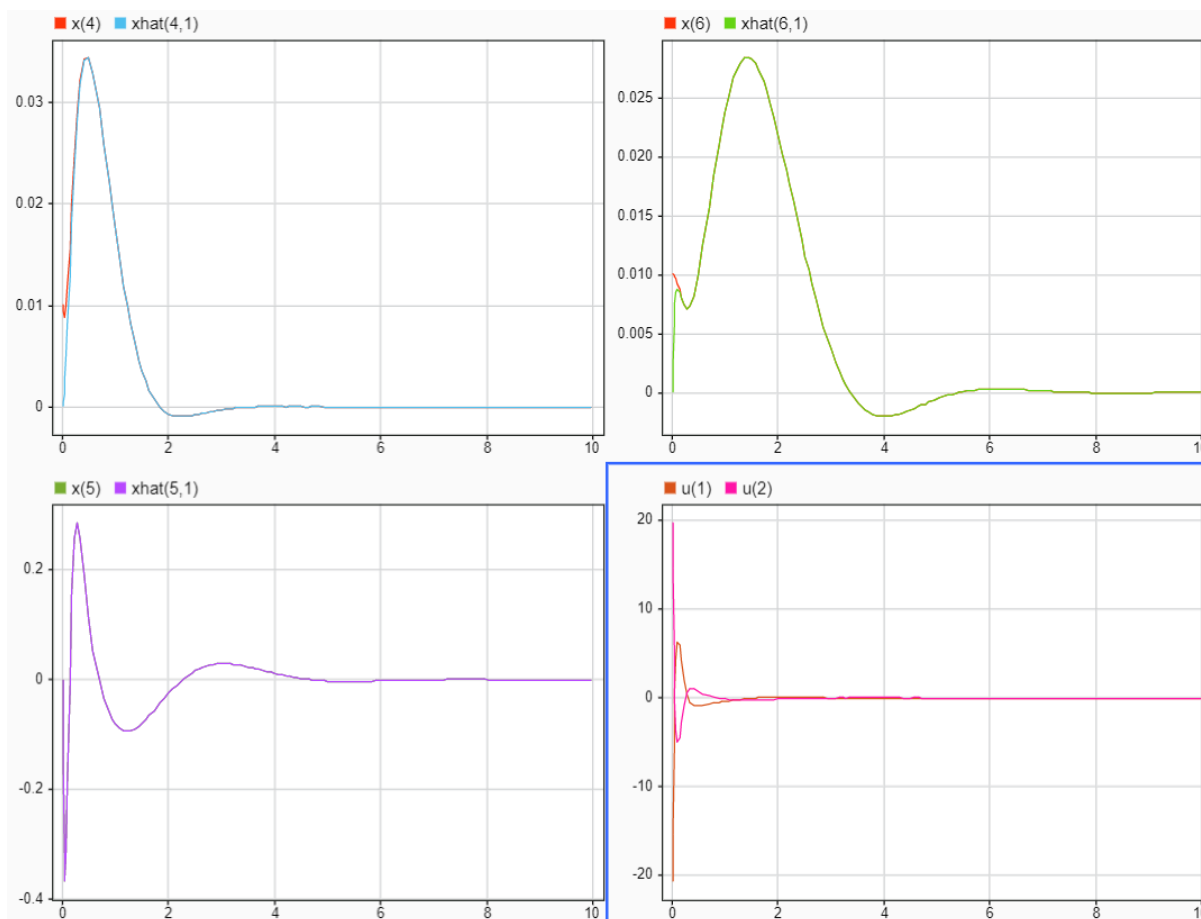
بلوک دیاگرام شبیه‌سازی شده برای این بخش، در شکل ۱۵ به نمایش در آمده است.



شکل ۱۵: بلوک دیاگرام سیستم مدار بسته با رویت گر کاهش مرتبه یافته



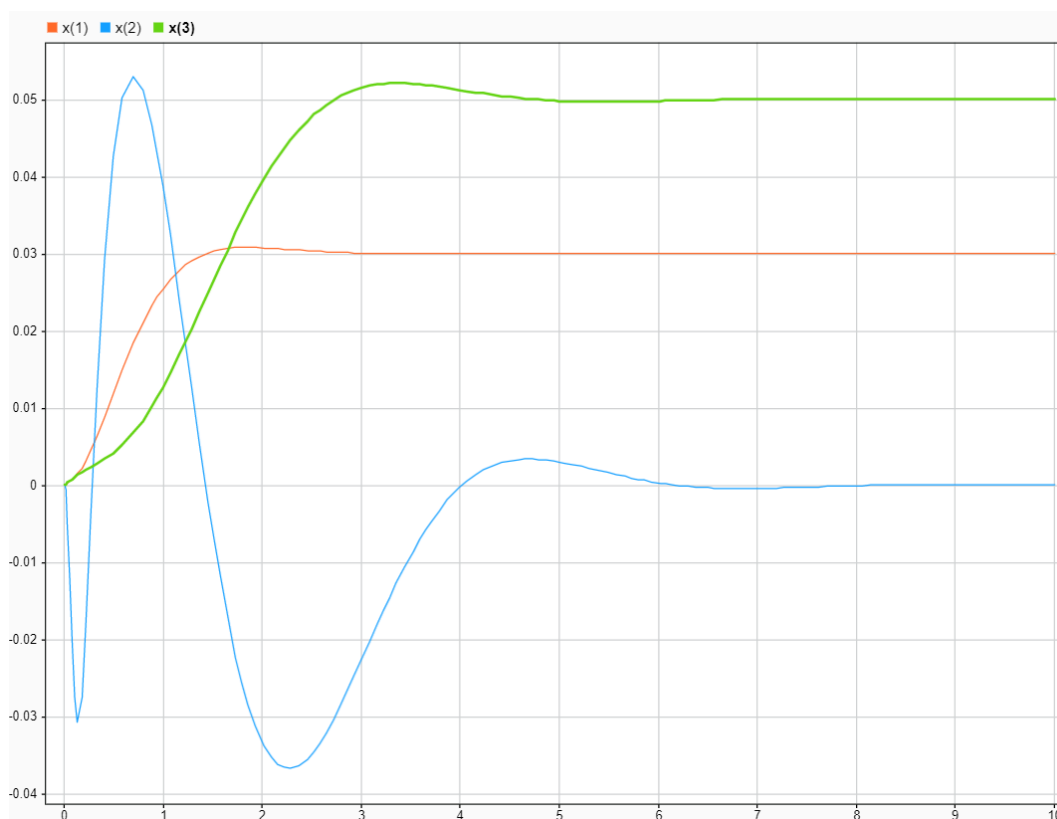
در شکل ۱۶، ورودی‌های سیستم به همراه مقادیر واقعی و تخمین زده شده مشتقات سه زاویه اصلی بررسی شده‌اند.



شکل ۱۶: ورودی‌های سیستم به همراه مقادیر واقعی و تخمین زده شده مشتقات سه زاویه اصلی



همچنین مقادیر خروجی‌های سیستم در شکل ۱۷ آمده است:



شکل ۱۷: خروجی‌های سیستم در حالت رویت‌گر کاهش مرتبه یافته

مشاهده می‌شود که مقادیر تخمین یافته در کمتر از ۱ ثانیه، به مقادیر اصلی رسیده‌اند.

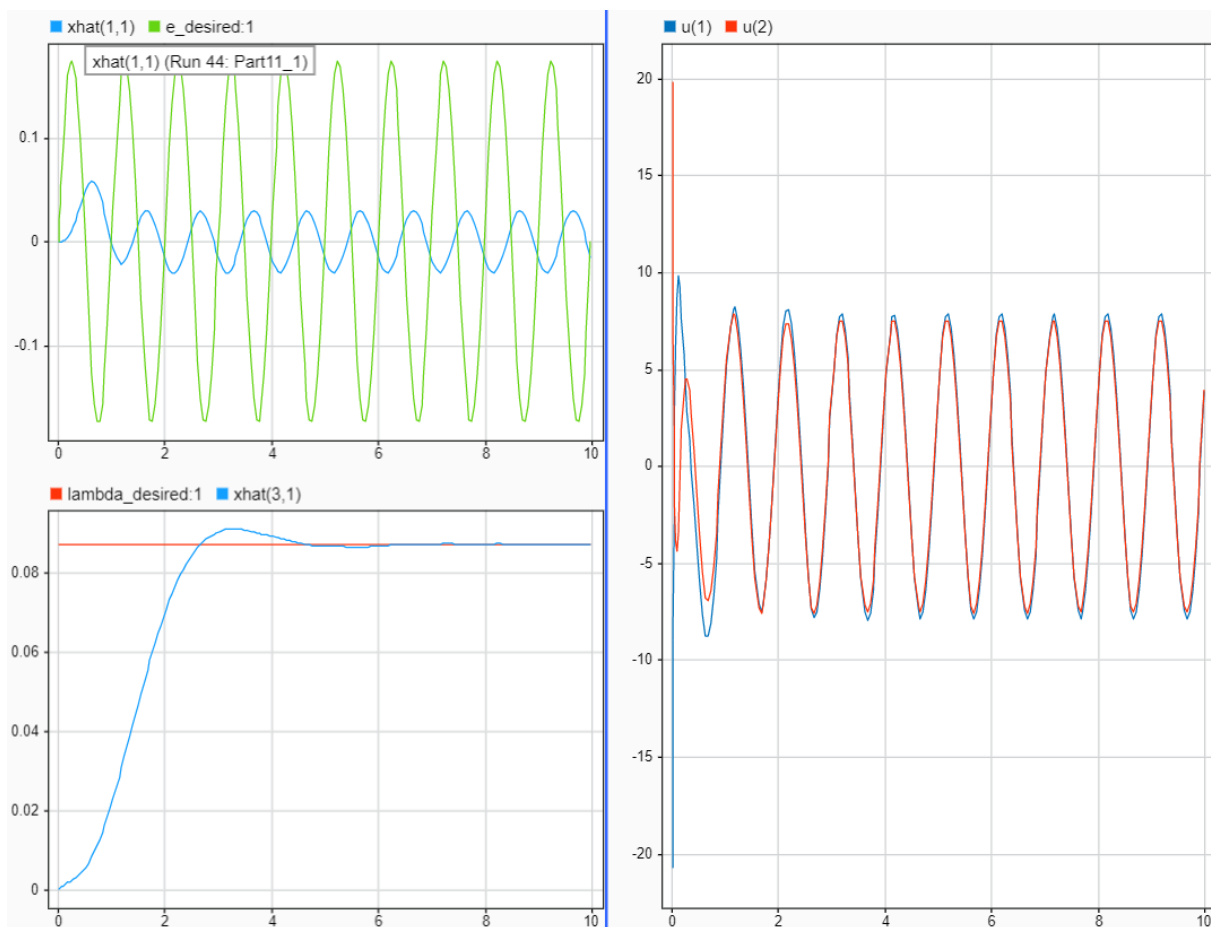


۳-۷- رهگیری سیگنال‌های سینوسی و خطی

در این بخش، زوایای ϵ و λ به صورت زیر هستند:

$$\begin{cases} \epsilon_d = 10\sin(2\pi t) \\ \lambda_d = 5u(t) \end{cases} \quad (43)$$

که این ورودی‌ها به درجه هستند. با استفاده از کنترلر قبلی، نتایج به صورت زیر است:



شکل ۱۸: زوایای مرجع و مقادیر تخمینی آنها با استفاده از انتگرال گیر

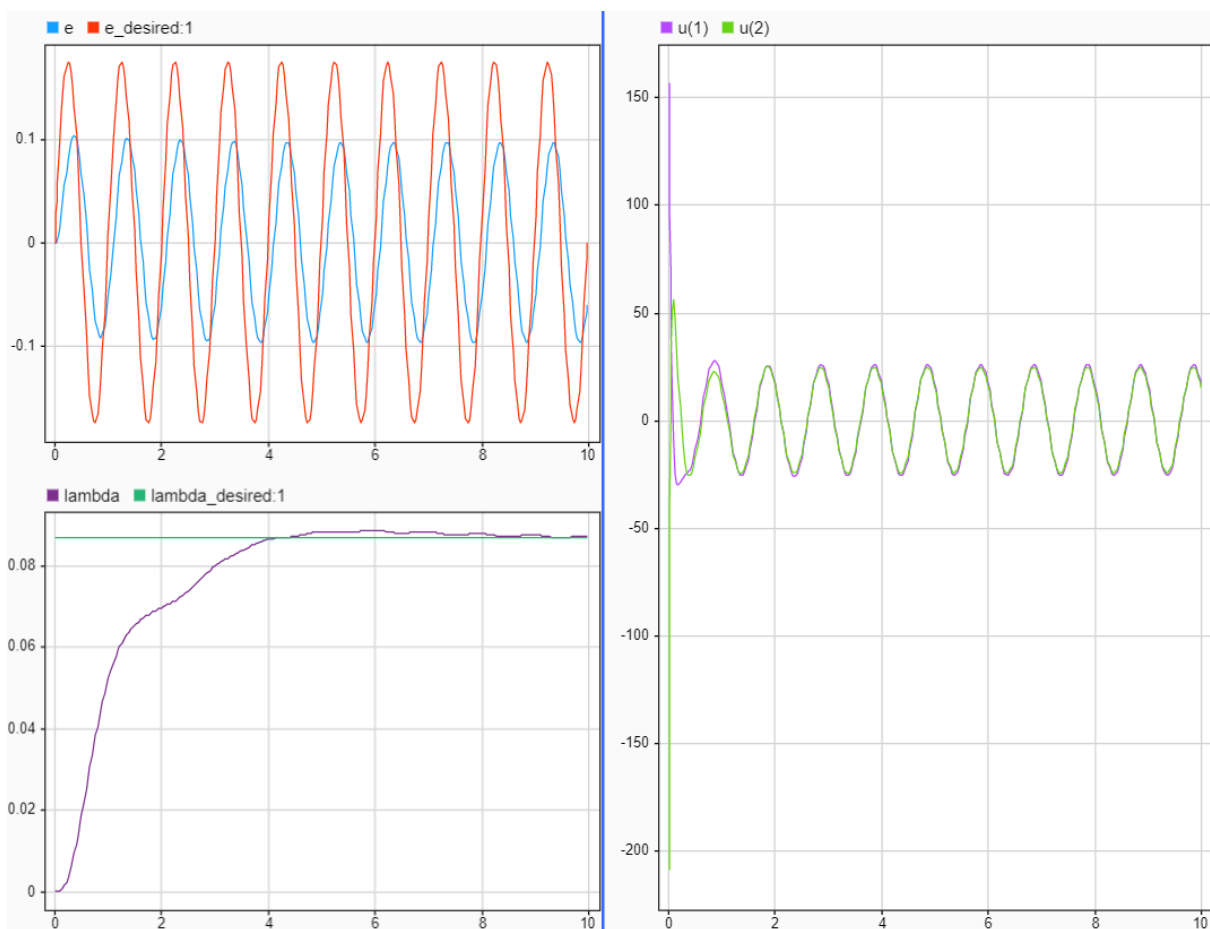
که بخش سینوسی به صورت مطلوبی سیگنال را تخمین نزده و دنبال نمی‌کند. بنابراین باید نوع کنترلر را عوض کنیم. با بررسی مقالات، با استفاده از کنترلر از نوع PID می‌توان این حالت را بهبود داد.



بنابراین، به جای استفاده از بلوک انتگرال گیر، یک بلوک PID جایگزین شد. معادله این بلوک به صورت زیر است:

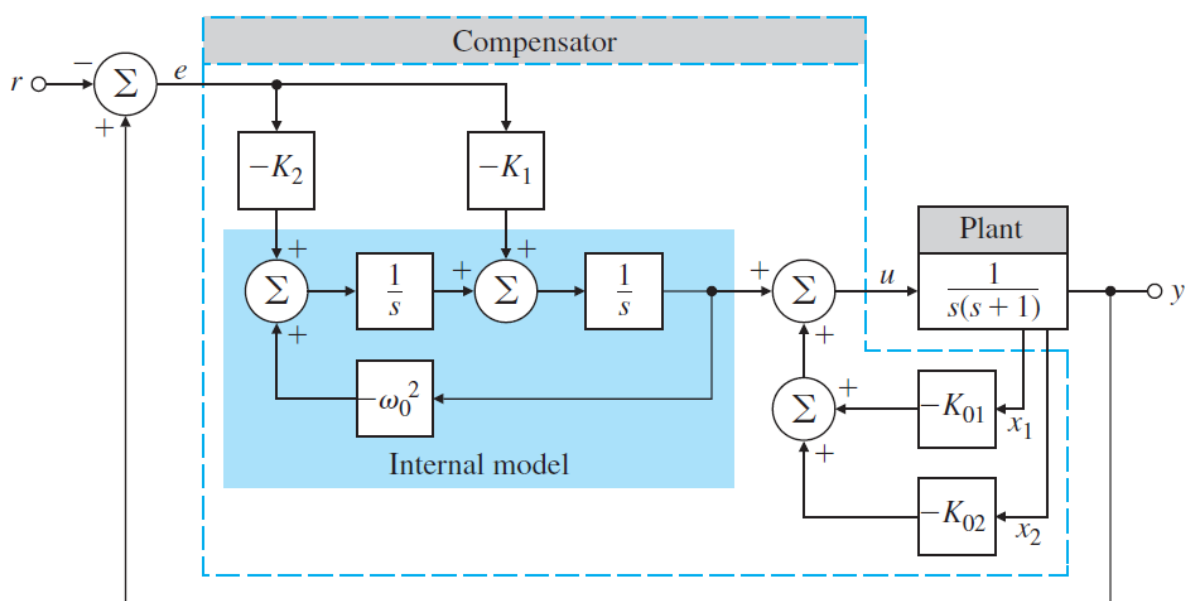
$$P + I \frac{1}{s} + D \frac{N}{1 + N \frac{1}{s}} \quad (44)$$

که مقادیر آن، $D=N=1$ ، $I=0.5$ ، $P=2$ انتخاب شده است. مقادیر متفاوتی انتخاب شد، اما ولتاژ اولیه بالا در همه‌ی آن‌ها مشهود است. در نهایت، دیاگرامی که ولتاژ نهایی آن در بازه مورد نیاز باشد، به صورت زیر است:



شکل ۱۹: پاسخ سیستم به ورودی سینوسی

با بررسی کتاب سیستم‌های دینامیکی کنترل فیدبک (اثر Gene F. Franklin)، نوعی دیگر از کنترلرها وجود دارند که برای ورودی سینوسی مناسب اند. تصویر این نوع از کنترلرها در آمده است.



شکل ۲۰: کنترلر مناسب ورودی سینوسی

متأسفانه به دلیل کمبود وقت و نیاز به مطالعه بیشتر برای استخراج پارامترهای کنترلر در سیستم‌های چند MIMO، این شبیه‌سازی انجام نگرفت.



۴. جمع بندی و نتیجه گیری

در این پروژه، یک سیستم هلیکوپتر سه درجه آزادی مورد مطالعه و بررسی قرار گرفت. برای کنترل این هلیکوپتر، ابتدا نیاز بود تا مدل سازی آن انجام گیرد. این کار با نوشتن معادلات انرژی سیستم و استفاده از فرمول اویلر لاگرانژ انجام شد. سپس با تبدیل معادلات غیر خطی به خطی حول نقطه تعادل صفر، توانستیم به معادلات فضای حالت سیستم خطی شده برسیم.

با مشخص شدن کنترل پذیری و رویت پذیری سیستم، ابتدا یکمدار حلقه بسته ساده طراحی شد و سپس با استفاده از انتگرال گیر، توانستیم زوایای خواسته شده را ردیابی کنیم. همچنین رویت گرهای مرتبه کامل و همچنین کاهش مرتبه یافته طراحی شد تا بتوانیم متغیرهای حالت سیستم را تخمین بزنیم و با استفاده از آنها، عملیات کنترل را انجام دهیم.

در انجام این کارها، محدودیت هایی نیز وجود داشت. سیستم خطی شده به مقادیر اولیه بسیار حساس است و اگر کمی انحراف از شرایط اولیه زیاد شود، ولتاژ مورد نیاز به سرعت از حد مورد نیاز فراتر خواهد رفت و عملکرد مطلوب را نمی تواند مهیا کند. همچنین برای ردیابی ورودی های سینوسی، انتگرال گیر کافی نخواهد بود و حتی استفاده از PID علی رغم لتاز اولیه بالا، توانست وضعیت سیستم را بهبود بخشد.



۵. مراجع

[1] جزوه درسی کنترل مدرن – دکتر فرزاد آیت‌الله زاده شیرازی

[2] Feedback Control of Dynamic Systems - Gene F. Franklin – 7th Edition

[3] Quanser laboratory guide - 3 DOF Helicopter Experiment for MATLAB /Simulink Users

[4] Modern Control Engineering - Ogata, Katsuhiko – 5th Edition



۶. ضمائم

در پیوست این فایل، دو فایل متلب و هفت فایل سیمولینک قرار دارد. فایل‌های سیمولینک متناسب با بخشی از سوال که قرار است حل شود، نامگذاری شده‌اند. فایل‌های متلب نیز دو بخش دارد: یک بخش مربوط به مدل‌سازی، و یک بخش هم مربوط به بحث‌های کنترل و رویت‌پذیری سیستم خطی شده.